

# СТУПЕНЧАТАЯ СТРУКТУРА НА СВЕРХПРОВОДЯЩЕМ ПЕРЕХОДЕ ОЛОВЯННОЙ ПЛЕНКИ, ВЫЗВАННАЯ СВЧ ИЗЛУЧЕНИЕМ

*Ю.И.Латышев, Ф.Я.Надъ*

Экспериментально обнаружена ступенчатая структура на кристаллической сверхпроводящем переходе пленки, обусловленная действием СВЧ излучения. Предполагается, что обнаруженная структура связана с неравновесностью и неоднородностью состояния пленки в СВЧ поле.

Известно, что в сверхпроводящих пленках под действием СВЧ излучения при некоторых условиях может увеличиваться критический ток  $I_c$  [1, 2], энергетическая щель  $\Delta$  [3] и критическая температура  $T_c$  [2, 4]. На опыте наблюдается небольшое увеличение  $T_c$  на величину  $\sim 0,6$  К, тогда как теория предсказывала значительное увеличение  $T_c$  [5, 6]. Одной из причин ограничения роста  $T_c$  может являться нагрев решетки пленки излучением [7]. Другая возможная причина — неустойчивость неравновесного сверхпроводящего состояния, возникающего при действии СВЧ излучения, и как следствие этого переход сверхпроводника в нормальное или какое-либо иное резистивное состояние [8, 9]. В данной статье сообщается об обнаружении ступеней на кристаллическом сверхпроводящем переходе оловянной пленки, образующихся при действии СВЧ излучения, и обсуждается связь этого явления с факторами, ограничивающими рост  $T_c$ .

Излучения с частотой  $9,4$  ГГц по стандартному волноводу поступало на исследуемый образец, располагавшийся либо в жидком, либо в газообразном  $\text{He}$  (для этого образец помещался в перевернутый кверху дном стеклянный стаканчик, погруженный в жидкий  $\text{He}$ ). Образцы представляли собой узкие (шириной  $1 - 2$  мкм) полоски Sn, длиной  $30 - 60$  мкм и толщиной  $1000 - 2000$  Å, осажденные при  $77$  К на подложки из кристаллического кварца. Температура образца измерялась С-термометром, вмонтированным в подложку и защищенным от СВЧ излучения. Точность измерения абсолютной температуры  $\approx 10$  мК, относительная точность  $\approx 1$  мК. Измерения производились при токе через образец, равном  $1$  мка. На все 4 проводника, подходящие к образцу, были поставлены фильтры низких частот.

На рис. 1 представлена серия зависимостей сопротивления одного из образцов от температуры  $R(T)$  при различных мощностях излучения  $W$ . Первоначальный небольшой скачок на  $R(T)$  соответствует переходу широких электродов мостика ("берегов") в сверхпроводящее состояние. Как видно из рис. 1 при действии излучения сравнительно небольших мощностей (затухание  $\sim 20$  дБ) происходит смещение перехода в область более высоких температур и уменьшение его ширины  $\Theta$ , определяемой как разность температур между уровнями  $0,9$  и  $0,1 R_n$  (обычно  $\Theta \ll 10$  мК). Величина сдвига

га сверхпроводящего перехода  $\delta T_c$  по уровню  $0,1 R_n$  для образцов, находящихся в контакте с жидким Не, примерно в 2 раза превосходит  $\delta T_c$  для образцов в газе и достигает значений  $30 \text{ мК}$ , что в свою очередь более чем в три раза превосходит ширину сверхпроводящего перехода  $\Theta$ .

Оказывается также, что при заданной  $W$  обратный переход из сверхпроводящего состояния в нормальное имеет скачкообразный вид и происходит при более высоких температурах, чем из нормального в сверхпроводящее (рис. 1). Гистерезисный характер переходов обусловлен, по-видимому, процессами "перегрева" сверхпроводящего состояния в СВЧ поле [6, 10].

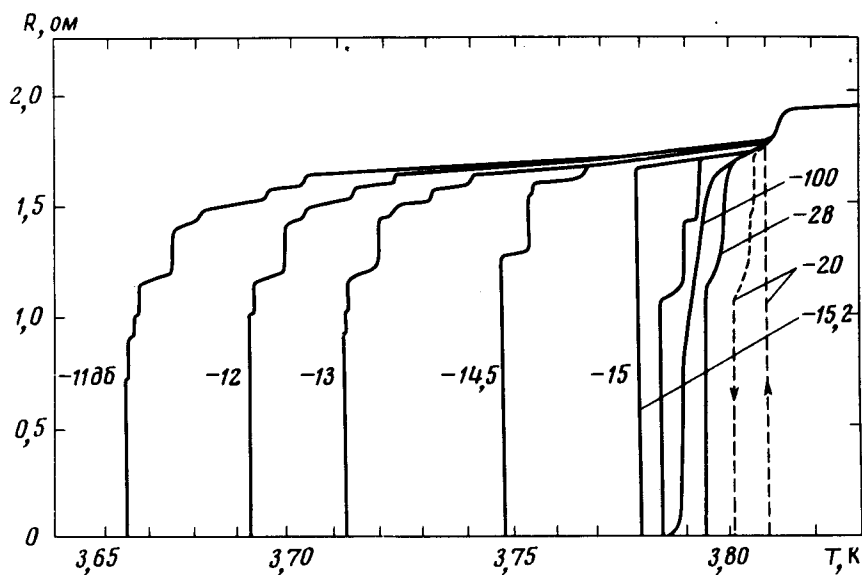


Рис. 1. Зависимость сопротивления пленки № 48-1 от температуры при некоторых фиксированных значениях мощности падающего излучения. Размеры пленки:  $0,15 \times 1,5 \times 47 \text{ мкм}^3$

Начиная с некоторой  $W$  (на рис. 1 затухание  $20 \text{ дБ}$ ), сдвиг перехода в сторону высоких температур прекращается и начинается его обратное движение в область низких температур. Одновременно на кривой перехода начинает выявляться ступенчатая структура, которая при дальнейшем увеличении  $W$  становится более четко выраженной (кривая при  $15,2 \text{ дБ}$ ). Далее в узком интервале мощностей ( $\approx 0,5 \text{ дБ}$ ) вблизи определенного ее значения ( $15 \text{ дБ}$  для рассматриваемого образца) происходит видоизменение ступенчатой структуры. Исчезает первоначальная система ступеней, соответствующая области малых  $W$ ; переход становится скачкообразным; после чего образуется другая система ступеней, качественно сохраняющая свой вид вплоть до самых больших  $W$ , при которых нами производились измерения ( $\approx 3 \text{ дБ}$ ). В этой области  $W$  наименьшей ступени на кривой  $R(T)$  соответствует переход в сверхпроводящее состояние участка мостика длиной  $\approx 2 \text{ мкм}$ . Состояния пленки на горизонтальных участках  $R(T)$  являются устойчивыми. При этом часть мостика находится в нормальном, часть в сверхпроводящем состояниях.

Если из этого промежуточного состояния начать увеличивать температуру мостика, то для каждой ступеньки также наблюдаются "локальные" гистерезисные явления.

Зависимость  $\delta T_c$  от  $W$  относительно температуры перехода при  $W=0$  приведена на рис. 2 для случая понижения и повышения температуры. Различие между кривыми связано с упоминавшимся ранее гистерезисным характером этих переходов. Причем, для переходов, когда исходным является сверхпроводящее состояние, пересечение с осью абсцисс наблюдается при больших мощностях излучения. Отметим подобие этих кривых зависимостям  $I_c$  мостиков от  $W$ , приведенным в работе [8], где было показано, что возможной причиной спада  $I_c$  является нагрев решетки мостика.

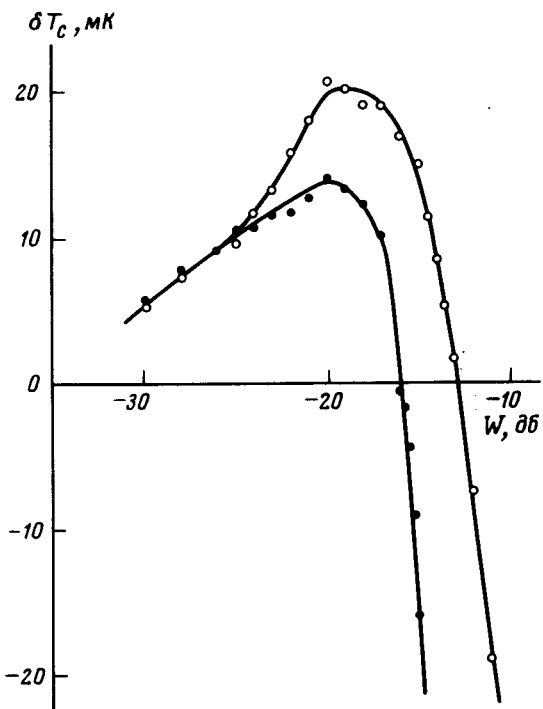


Рис. 2. Зависимость сдвига сверхпроводящего перехода пленки №48-1 от мощности падающего излучения. Точки  $\circ$  соответствуют увеличению температуры при заданной мощности, точки  $\bullet$  — понижению температуры

Измерения зависимостей  $R(T)$  были проведены на 7 различных образцах и на всех получены качественно подобные результаты. Однако, число ступенек и их высота менялись от образца к образцу. Среди 7 образцов были две пары похожих по размерам мостиков. Парные мостики имели одинаковую ширину, толщину и приблизительно равную длину (разница в  $1 - 2 \mu\text{мм}$ ). Системы ступеней в этих близких по размерам образцах оказались количественно различными, что, по-видимому, указывает на связь наблюданной ступенчатой структуры с неоднородностями образцов. С другой стороны, как видно из рис. 1, на кривой сверхпроводящего перехода при  $W = 0$  нет ступеней. При  $W = 0$  на кривых переходов при больших измерительных токах вплоть до  $1\text{mA}$  нами также не наблюдалась ступенчатая структура, подобная структуре на рис. 1. Из всего этого, по-видимому, следует, что появление ступеней

на  $R(T)$  при  $W \neq 0$  и малых измерительных токах обусловлено действием СВЧ излучения и каким-то образом связано с неоднородностями образцов.

Можно высказать несколько предположений, касающихся механизма наблюдаемых явлений. Исследованные нами образцы, по всей видимости являются неоднородными, т.е.  $T_c$  их отдельных участков отличаются друг от друга на величину  $\sim 10 \text{ мк}$  [11]. При воздействии на такие образцы излучения относительно малой мощности наблюдается стимулирование сверхпроводимости. Как показывает теория [6] и экспериментальные зависимости  $I_c(W)$  [7], на участках мостика с меньшей  $T_c$  и соответственно меньшей  $\Delta$ , действие излучения приводит к большому росту критических параметров ( $T_c$ ,  $\Delta$  и  $I_c$ ), чем на участках с высоким  $T_c$ . Отсюда следует, что одновременно с возрастанием критических параметров всех участков должно происходить также их выравнивание. Этим процессам соответствует наблюдаемый на опыте сдвиг сверхпроводящего перехода в сторону больших  $T$  и его сужение. При дальнейшем увеличении  $W$ , по-видимому, начинают играть роль факторы, конкурирующие с механизмом стимулирования сверхпроводимости и ограничивающие сдвиг  $T_c$  — неустойчивость неравновесного сверхпроводящего состояния [8, 9] и тепловые эффекты. Оба эти фактора способствуют разбиению мостика на сверхпроводящие и нормальные участки, на формирование которых оказывает также влияние и неоднородности образца. Наблюдаемая ступенчатая структура на сверхпроводящем переходе, по-видимому, и является результатом существования такого неравновесного, неоднородного состояния мостика.

Авторы весьма признательны А.Ф.Волкову и Б.И.Ивлеву за полезное обсуждение результатов.

Институт радиотехники  
и электроники  
Академии наук СССР

Поступила в редакцию  
11 августа 1977 г.

### Литература

- [1] A.F.G.Wyatt, V.M.Dmitriev, W.S.Moore, F.W.Sheard. Phys. Rev. Lett., **16**, 1166, 1966.
- [2] A.H.Dayem, J.J.Wiegand. Phys. Rev., **155**, 419, 1967.
- [3] T.Kommers, J.Clarke. Phys. Rev. Lett., **38**, 1091, 1977.
- [4] В.М.Дмитриев, Е.В.Христенко, А.В.Трубицын, Ф.Ф.Менде. УФЖ, **15**, 1611, 1970.
- [5] Г.М.Элиашберг. Письма в ЖЭТФ, **11**, 186, 1970.
- [6] B.I.Ivlev, S.G.Lisitsyn, G.M.Elyashberg. J. Low Temp. Phys., **10**, 449, 1973.
- [7] Ю.И.Латышев, Ф.Я.Надь. ЖЭТФ, **71**, 2158, 1976.
- [8] Б.И.Ивлев. ЖЭТФ, **72**, 1197, 1977.

[9 ] A.Schmid. Phys. Rev. Lett., 38, 922, 1977.

[10] T.M.Klapwijk, J.E.Mooij. Physica , 81B, 132, 1976.

[11] W.J.Skocpol, M.R.Beasley, M.Tinkham. J.Low. Temp. Phys, 16, 145,  
1974.